

強制通風式 冷却塔 特性에 關한 研究

徐 廷 一* · 金 光 深** · 李 永 秀**

A Study on the Characteristics of Forced Draft Cooling Tower

Jeong Il Seoh , Kwang Soo Kim and Young Soo Lee

ABSTRACT

This paper presents design conditions due to the NTU of counter and cross flow type cooling tower.

In the calculation of optimum design conditions for above two types which are widely used in our country, standard water-air ratio, ambient wet bulb temperature and bulk water temperature were adopted by domestic wheather conditions.

The important result of this study is obtained as follows ; Under the constant value of K_a and L , the number of transfer unit of cross flow type cooling tower is about 1.1 times as large as that of counter, so the volume of cross flow type is about 10 % greater than that of counter.

* : 正會員, 漢陽大學校 工科大學

** : 正會員, 漢陽大學校 大學院

記 號 說 明

A	: Cross sectional area of tower m^2	$kcal/hr \cdot m^2 \cdot {}^\circ C$
a	: Area of water interface per unit volume m^2/m^3	L : Mass water rate kg/hr
C_1, C_2	: Constant	m : Mass transfer rate, interface to air stream kg/hr
C_{pa}, C_{pw}	: Specific heat of dry air and water vapor $kcal/kg \cdot {}^\circ C$	N : Ratio of mass water rate to air L/G
C_L	: Specific heat of water $kcal/kg \cdot {}^\circ C$	P : Efficiency of enthalpy $\frac{i_2 - i_1}{i_1 - t_1}$
G	: Air flow rate kg'/hr	q_L : Rate of latent heat transfer, interface to air stream $kcal/hr$
H	: Absolute humidity of main air mass kg/kg'	q_S : Rate of sensible heat transfer, interface to air stream $Kcal/hr$
H'	: Absolute humidity, Saturated at bulk water temperature kg/kg'	q_w : Rate of heat transfer, bulk water to interface $kcal/hr$
H''	: Absolute humidity at interface kg/kg'	r : Latent heat of evaporation $kcal/kg$
i	: Enthalpy of moist air $kcal/kg'$	S : Unit heat capacity of moist air $kcal/kg \cdot {}^\circ C$
i'	: Enthalpy of moist air at bulk water temperature $kcal/kg'$	T : Dry-bulb temperature of air stream ${}^\circ C$
i''	: Enthalpy of moist air at interface temperature $kcal/kg'$	T_0 : Datum temperature for water vapor enthalpy ${}^\circ C$
K	: Over-all unit conductance, mass transfer between saturated air at mass water temperature and main air stream $kg/hr \cdot m^2 (kg/kg')$	T' : Dry-bulb temperature of air at interface ${}^\circ C$
K'	: Unit conductance, mass transfer, interface to main air stream $kg/hr \cdot m^2 (kg/kg')$	T_{WB} : Wet-bulb temperature of air stream ${}^\circ C$
K_G	: Over-all unit conductance,sensible heat transfer between interface and main air stream $kcal/hr \cdot m^2 \cdot {}^\circ C$	t : Bulk water temperature ${}^\circ C$
K_g	: Over-all unit conductance,sensible heat transfer between main water body and main air stream $kcal/hr \cdot m^2 \cdot {}^\circ C$	U : Number of transfer unit
K_L	: Unit conductance, heat transfer, bulk water to interface	V : Active tower volume per plane area m^3/m^2
		w : Width of cross flow filled volume m
		Z : Height of filled volume m
		η_t : Cooling efficiency $\frac{t_1 - t_2}{t_1 - T_{WB}}$
		subscript
		1 : inlet
		2 : outlet

1. 序 論

最近 產業近代化에 따른 冷凍機, 熱機關, 發電所, 化學플랜트 等 各種 設備들은 大量의 水資源을 必要로 하게 되었고 特히 廢水의 餘熱을 大氣中으로 放出하여 버린다면 에너지 損失뿐만 아니라 經濟的으로도 큰 損失이 된다.

이들 損失을 적게 하기 위하여 물을 再循環 使用하기 위한 冷却裝置의 需要가 急增하고 있는 實情이다. 이와 같은 各種 冷却裝置에는 周圍 外氣를 利用하여 溫水와 直接 接觸시켜 溫水와 外氣사이에 热交換을 시키는 冷却塔이 있다. 冷却塔은 開放式과 密閉式으로 分類되며 開放式에는 大氣式, 自然 通風式과 強制 通風式이 있다. 그러나 國內 實情에 適合한 冷却塔은 주로 強制 通風式으로 이와 같은 方式에는 對向流形과 直 交流形으로 大別되며 이들의 热交換 方式은 물과 外氣의 溫度差에 의한 물의 感熱과 물 自體의 蒸發로 인한 潛熱로써 이루어지게 된다. 또한 冷却塔의 性能은 外氣와 물과의 有効 接觸面積, 接觸表面에서의 外氣와 물과의 相對速度, 接觸時間, 外氣의 濕球溫度와 水溫과의 差等에 따라 크게 變化하므로 이와 같은 目的에 一致하도록 冷却塔 内部에 여러가지의 形狀과 充填物을 채우기도 하지만 出口 水溫을 冷却塔 入口에서의 外氣 濕球溫度 以下로 低下시킬 수는 없다.¹⁾ 그리고 出口 水溫이 濕球溫度에 接近할 수록 冷却器 形狀이 크게 되므로 出口 水溫을 濕球溫度 보다 $3 \sim 4^{\circ}\text{C}$ 程度 높은 溫度로 設計하는 것이一般的인 方法이다.²⁾ 또한 冷却塔의 窮極의인 目的是 效率 및 性能 向上에 있기 때문에, 이에 至大한 影響을 미치는 入口, 出口에서의 水溫, 入口의 外氣 濕球溫度, 水空比에 關한 紛明은 매우 重要하다. 그러므로 本 研究에서는 冷却塔 热交換부의 一般 支配 方程式을 利用하여 冷却塔 性能改善에相當한 影響을 미치는 U/N 에 관한 基礎 事項을 구하였다. 또한 冷却塔 設計에 있어 매우 重要한 因子인 入出口에서의 水溫과

外氣 濕球溫度와의 關係 및 冷却範圍가 移動單位數에 미치는 影響을 考察하기 위하여 國內 冷却塔 設計時 利用되어 지는 基準溫度로써 對向流形에서는 數直積分法³⁾, 直交流形에서는 近似解法⁴⁾ 및 圖式解法³⁾에 의하여 比較 檢討하였다.

2. 理論解析

冷却塔特性 解析에 대한 假定은 다음과 같다.

1. 冷却塔의 運轉 條件은 定常 狀態이다.
 2. 外氣 및 물의 流速은 一定하며 이들의 比熱 은 測度變化에 無關하다.
 3. 蒸發로 인한 水量 減少는 無視한다.
 4. 蒸發潜熱은 一定하다.

2-1. 冷却塔의 一般支配方程式

① 热傳達率 方程式

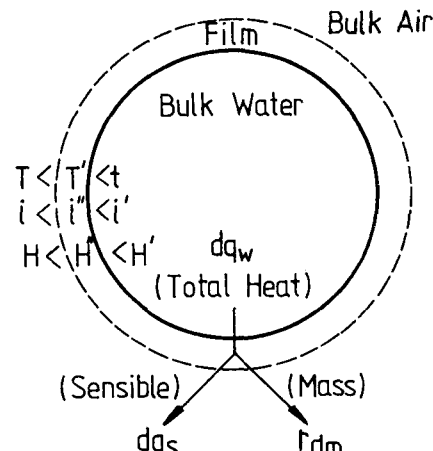


Fig.1 Heat and mass transfer relationships between water, interfacial film and air

Fig.1에서 溫度는 $T < T' < t$ 와 같고 물로부터 表面 境界膜으로의 热傳達率은

$$dq_w = Ldt = K_L \alpha dV(t-T') \quad \dots \dots \dots \quad (1)$$

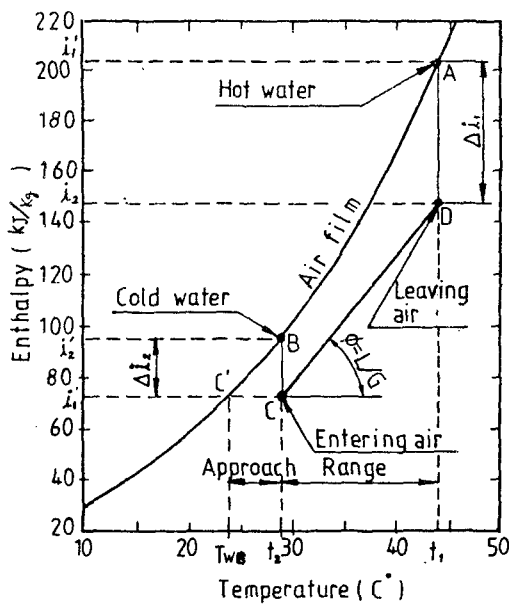


Fig. 2 Counter flow cooling diagram

b)에서 엔탈피差 ($i' - i$)로서 그 장소에서의 에너지 移動의 推進力を 나타내며 이 推進力은 底部에서는 Δi_2 , 頂上部에서는 Δi_1 이다. 그리고 出口의 水溫과 入口의 外氣 游離溫度差를 Approach 라 하며 3~6°C 程度⁶⁾이며, 冷却範圍는 물의 溫度差로서 底盤式 冷凍機에서는 5°C 前後, 吸收式은 6~9°C 程度⁷⁾이다. 이때의 冷却效率 η_t 는

$$\eta_t = \frac{t_1 - t_2}{t_1 - T_{wb}} \quad \dots \dots \dots \quad (18)$$

이다. 그리고 冷却塔 内의 有効體積은 $V = AZ$ 이고 Ka 는 一定하므로 이때 交換되어진 热量 Q (Kcal/hr)는 式 (16)으로부터

$$dQ = Ka(i' - i) AdZ = Gdi \quad \dots \dots \dots \quad (19)$$

이를 엔탈피에 대하여 積分하면

$$Ka = \frac{G}{AZ} \int_{i_1}^{i_2} \frac{di}{i' - i} \quad \dots \dots \dots \quad (20)$$

式 (6)에서 dt 는 負이므로 水空比 N 은

$$N = \frac{L}{G} = -\frac{di}{dt} \quad \dots \dots \dots \quad (21)$$

그러므로

$$U = \int_{i_1}^{i_2} \frac{di}{i' - i} = \frac{KaZ}{G/A} = N \int_{t_1}^{t_2} \frac{-dt}{i' - i} \quad (22-a)$$

$$U/N = \int_{t_1}^{t_2} \frac{-dt}{i' - i} = \frac{KaZ}{L/A} \quad \dots \dots \dots \quad (22-b)$$

2-3. 直交流形 冷却塔의 解析

直交流形 冷却塔 内의 水溫과 外氣의 엔탈피變化는 上下, 水平方向으로 变하므로 이에 대한 解析은 對向流形보다 매우 複雜하므로 實際에 있어서는 對向流의 解析方法과 거의 類似한 近似解法이 주로 使用된다. 이 方法은 水溫變化 $At = t_1 - t_2$ 이고 $i - t$ 線圖 上의 飽和曲線을 直線으로 近似시키면 直交流 热交換器의 解析方法으로 應用될 수 있으므로 式 (22-b)로 부터

$$U/N = \frac{KaV}{L} = \frac{At}{At_m} \quad \dots \dots \dots \quad (23)$$

여기서 At_m 은 代數平均엔탈피差로서

$$At_m = F \times \left[\frac{(i_1' - i_2) - (i_2' - i_1)}{\ln \frac{i_1' - i_2}{i_2' - i_1}} \right] \quad \dots \dots \dots \quad (24)$$

F 는 修正係數⁸⁾이며 이에 대한 線圖는 Fig. 3과 같다.

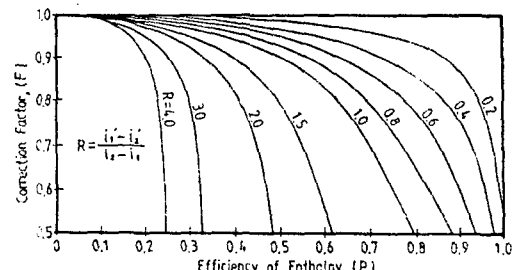


Fig. 3 Correction factor of cross flow

3. 最適 性能條件의 計算

冷却塔 形式에 따른 U/N 값은 效率 및 性能에 重要한 影響을 미치는 因子이므로 이를 計算

하기 위하여國內冷却塔設計時標準狀態로利用되는基準溫度를使用하였다. 全國各地域季節의基準濕球溫度는 27°C⁹⁾, 入出口에서의 물의基準溫度는 37°C, 32°C¹⁰⁾으로取하여對向流形에서는數值積分法으로, 直交流에서

는近似解法과圖式解法으로各各 U/N 값을計算하면 다음과 같다.

먼저, 對向流形冷却塔에 대하여數值積分法으로 U/N 값을 구하면 Table 1과 같다.

Table 1. Counter flow cooling tower calculation of NTU for 32°C cold water temperature, 27°C entering wet bulb temperature and $L/G = 1$

water temp. (t) °C	enthalpy of film (t') KJ/kg	enthalpy of air (i) KJ/kg	enthalpy difference (i' - i) KJ/kg	$\frac{1}{i' - i}$ KJ/kg	$\frac{\Delta t}{(i' - i)} \text{ average}$ KJ/kg	$\sum \left \frac{\Delta t}{i' - i} \right $ KJ/kg	cooling range °C
32	110.9	85.36	25.5	0.0391	0.0379	0.0379	1
33	116.8	89.55	27.3	0.0367	0.0354	0.0733	2
34	123.0	93.74	29.3	0.0342	0.0329	0.1062	3
35	129.5	97.93	31.6	0.0317	0.0305	0.1367	4
36	136.2	102.1	34.1	0.0293	0.0281	0.1648	5
37	143.4	106.3	37.1	0.0269			

Table 1을 利用하여 U/N 값을 計算한結果值 0.16에 물의比熱 4.19 kJ/kg·°C를 곱하면 0.67이 됨을 알 수 있다. 다음, 直交流形冷却塔에 대하여近似解法에 의한 U/N 값은 式(23), 式(24)에 의하여

$$P = \frac{i_2 - i_1}{i'_1 - i_1} = \frac{106.3 - 85.36}{143.4 - 85.36} = 0.36$$

$$R = \frac{i'_1 - i'_2}{i_2 - i_1} = \frac{143.4 - 110.9}{106.3 - 85.36} = 1.55$$

P와 R을 利用하여 Fig. 3에서 F = 0.91을 얻고 이를 式(24)에 代入하면

$$\Delta i_m = 0.91 \times \left\{ \frac{(143.4 - 106.3) - (110.9 - 85.36)}{\ln \left(\frac{143.4 - 106.3}{110.9 - 85.36} \right)} \right\} = 28.17$$

Δi_m 을 式(23)에 代入하여 計算한 後, 물의比熱을 곱한結果 U/N 값은 0.74이다.

또한直交流形冷却塔에 대한圖式解法에 있어서熱移動은 Fig. 4에서와 같이外氣流方向을水平軸, 水流方向을垂直軸으로, 各各 7等分한單位體積에 대하여二次元으로移動된다. 따라서式(19)에서塔높이를y, 水平方向을x로取하면 다음과 같은式을 얻을수 있다.

$$Ka = (i' - i) dx dy = G di dy = L dt dx \dots\dots (25)$$

이를積分하면

$$\int_0^z \frac{Ka dy}{L} = \int_{i_1}^{i_2} \frac{dt}{i' - i} \quad (26-a)$$

$$\int_0^w \frac{Ka dx}{G} = \int_{i_1}^{i_2} \frac{di}{i' - i} \quad (26-b)$$

이에대한計算은對向流形과 같은條件에서考慮되어졌으며, 여기서垂直으로변하는水溫의變化量 Δt 와水平으로변하는 Δi 와의關係¹¹⁾는

$$\Delta t = \frac{0.1(i' - i) \text{ average}}{4.19}, \Delta i = 4.19 \Delta t \dots\dots (27)$$

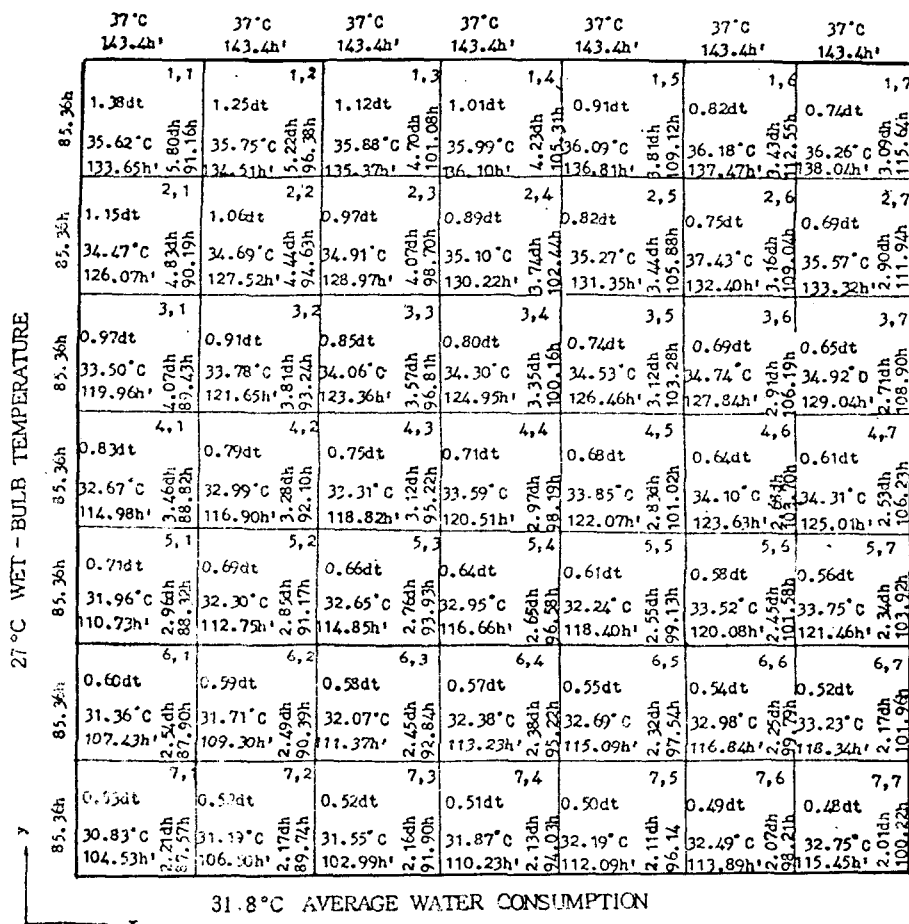


Fig.4 Cross flow calculation

이다. 따라서直交流形의圖式解法에 대한計算
값은 Fig.4와 같고 이圖表로부터 얻은 값에
물의比熱을 곱한結果 U/N 값은 0.73을 얻
었다.

4. 比較 및 檢討

4-1. 冷却塔形式에 따른 U/N 값의變化

앞서의計算結果를考察하면對向流形冷却塔의 U/N 값은 0.67로서直交流形冷却塔의 0.74에 비하여 약 10%程度 적게 나타났다.

따라서 2形式의冷却塔에 대하여 L 과 Ka 값이 같은 경우에는直交流形冷却塔의體積을對向流形보다 10%程度 크게 設計하여야 된다는 것을 알 수 있다. 그리고直交流形에서는近似解法과圖式解法에 의한 U/N 값을比較한結果 1%程度誤差로 거의一致하였다.

4-2. 外氣 濕球溫度 變化가水溫에 미치는影響

入出口에서의水溫과外氣의濕球溫度變化가性能에 미치는影響을比較檢討하기 위하여空調用冷凍機設備에使用되는直交流形冷却塔

을 選定하여 Honeywell 社의 Delta-1000 시스템에 의하여 100 % 稼動狀態에서 Table 2 와 같은 實驗值를 얻고, 이를 Fig.5에 圖示하였다.

Table 2. Test data of cooling tower, °C

case	t_1	t_2	T_{WB}	η_t (%)
A	37	32	27	50
B	36	31	26	50
C	35	30	25.4	52
D	34	29	24.6	53

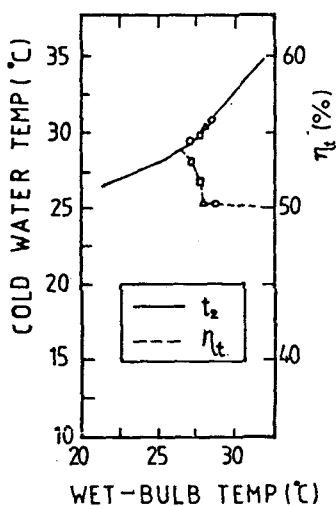


Fig.5 Relations between wet-bulb and cold water temperature

이 결과는 ASHRAE Hand Book of Equipment¹¹⁾의 결과값과도一致하였으며入口의外氣露球溫度가내려갈수록出口水溫도떨어지는것을알수있다.

4-3. 冷却範圍 變化가 U/N 값에 미치는 影響

冷却範圍 變化가 U/N 값에 미치는 效果를 檢討하기 위하여 式(6)에서 無視한 蒸發로 인하여

減少된 微量의 물에 대한 엔탈피를考慮하면, 冷却塔 내의 微少 體積 ΔV 에서 물과 外氣 사이의 交換되는 熱量은 다음 式과 같다.

$$dQ = G d i = L d t + L dt \quad (28-a)$$

$$\frac{\Delta i}{\Delta t} = \frac{L}{G} \left(1 + \frac{t}{L} \frac{\Delta L}{\Delta t} \right) = N \left(1 + \frac{\Delta L}{L} \frac{t}{\Delta t} \right)$$

..... (28-b)

Table 3 은 式 (28-b) 를 利用, 水空比와 外
氣 濕球溫度가 各各 1, 27°C 인 경우에서의 冷
却範圍 變化에 따른 N , η_i 와의 關係를 나타냈
고 Fig.6 는 이에 대한 線圖이다.

Table 3 . Effect of range on cooling tower
 $L/G = 1.0$, $T_{WB} = 27^\circ\text{C}$

case	t_1 (°C)	t_2 (°C)	Range	L_F (%)	Increase of N (%)	η_t (%)
A	37	32	5	0.8	5.9	50
B	39	32	7	1.2	6.5	58
C	42	32	10	1.7	7.1	67
D	48	33	15	2.5	8.0	71
E	54	34	20	3.3	9.0	74

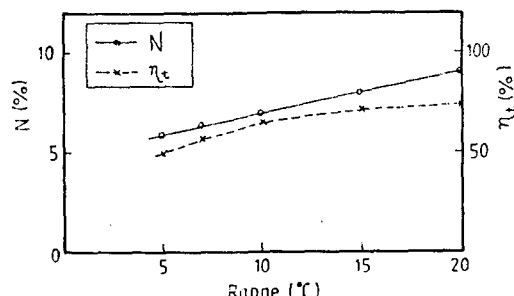


Fig.6 Effect of variation on range N and η , using $L/G = 1.0$, $T_{WB} = 27^\circ\text{C}$

위의 結果로부터 冷却範圍 變化에 따라 N 值은 直線的으로 增加함을 알 수 있다.

이結果는實驗式¹²⁾

$$U/N = K\alpha V/L = C_1 \left(\frac{L}{C}\right)^{C_2} = C_1 N^{C_2} \quad \dots \dots \quad (29)$$

의 結果와도 一致한다. 또한 위의 結果로부터 冷却範圍가 커지면 N 값도 增加하며 U/N 값에도 影響을 미치게 되므로 冷却範圍가 20°C 일때 N 이 9% 程度 增加하므로 冷却範圍가 20°C 以上의 경우에서는 水量 蒸發 損失에 의한 熱量이考慮되어 져야 할 것이다.

5. 結論

對向流形과 直交流形 冷却塔 特性에 關한 研究로부터 얻은 結論은 다음과 같다.

1. 基準狀態에서 對向流形과 直交流形 冷却塔에서의 U/N 값을 比較한 結果, K_a 와 L 이 같은 경우에서는 直交流形 冷却塔이 對向流形 보다 體積이 10% 程度 크게 設計되어 져야 한다.

2. 外氣 濕球溫度가 내려갈수록 出口 水溫도 降低한다.

3. 冷却塔 外氣 濕球溫度가 一定한 경우에 대하여, 冷却範圍가 클수록 水空比는 直線的으로 增加하며 또한 移動單位數도 向上한다. 特히 冷却範圍 Δt_w 가 20°C 以上일때는 水量 蒸發損失로 인한 含有 熱量을 考慮하여야 한다.

參考文獻

- 手塚俊一：“冷却塔 概論”，空氣調和・衛生工學，第52卷，第4號，pp.3～6，1978
- 空氣調和・衛生工學會編：空氣調和・衛生工學便覽，第二卷，第5編，第2章 冷却塔，pp. 358，1975
- D.R. Baker & H.A. Shryock：“A Comprehensive Approach to the Analysis of

Cooling Tower Performance ” ASME , Journal of H.T., pp.339～350, August, 1961

- 内田季雄：“濕り空氣と 冷却塔”，(株)裳華房，pp. 178～181, 1977
- W.K. Lewis：“Principles of Chemical Engineering”，McGraw Hill comp., 3rd ed., 1937
- 徐廷一・申宗熙：“空氣調和와 暖房”，光林社 pp. 283, 1980
- 井上字市：“空氣調和ハンドブック”，丸善(株)，pp. 203～206, 1967
- J.P. Holman：“Heat Transfer”，McGraw-Hill Co., 5th ed., pp. 451, 1981
- 金孝經：“韓國의 空氣調和 設計用 外氣條件” 空氣調和・冷凍工學，第1卷，第1號，pp.8, 1972
- Cooling Tower Catalogues of Bumyang, Shinwa, Kyung In and Kyung Won Machinery Co., Ltd., 1982
- ASHRAE HandBook of Equipment, New York, Chap. 21, 1979
- 空氣調和・衛生工學會編：“空氣調和・衛生工學便覽”，pp. 715, 1977
- F.C. McQuiston & J.D. Parker：“Heating Ventilating and Air Conditioning”，John Wiley & Sons, Inc., 2nd ed., pp.451～467, 1982
- 千葉孝男：“開放式 冷却塔”，空氣調和・衛生工學，第52卷，第4號，pp.11～18, 1978
- 日本冷凍協會編：“冷凍空調便覽 基礎篇”，pp. 354～361, 1972